

# بررسی آزمایشگاهی رفتار تیرهای عمیق بتن مسلح دو سرگیردار تحت بار چرخه‌یی و یکنوا

ابوالفضل عربزاده<sup>\*</sup> (دانشیار)

روح الله هدزجی (دانشجوی دکتری)

دانشکده هندسی عمران و محیط زیست، دانشگاه تربیت مدرس

تیرهای عمیق بتن مسلح به دلیل هندسه، شرایط مرزی و رفتاری که در مقایسه با تیرهای معمولی دارند، نوع خاصی از تیرها محسوب می‌شوند. به عنوان مثال، فرض توزیع تنش - گرنش خطی در مقطع عرضی تیرهای مذکور معتمد نیست. در چند دهه‌ی اخیر، مطالعات گستردگی بر روی تیرهای عمیق دو سر ساده انجام شده است، اما مطالعات کمی به تیرهای عمیق بتن مسلح دو سرگیردار و پیوسته اختصاص یافته است. در نوشتار حاضر، رفتار دو تیر عمیق بتن مسلح دو سرگیردار با شرایط یکسان (یکی تحت بار چرخه‌یی و دیگری تحت بار یکنوا) آزمایش و رفتار آن‌ها بررسی شده است. نتیجه‌ی آزمایش نشان داد که هر دو تیر به صورت بشی گسیخته شده و همچنین ظرفیت نهایی تیر تحت بار چرخه‌یی، کاهش چندانی نسبت به بارگذاری یکنوا نداشته است.

arabzade@modares.ac.ir  
rouhollah.hizaji@modares.ac.ir

واژگان کلیدی: تیر عمیق، بتن مسلح، دو سرگیردار، بار چرخه‌یی، بار یکنوا.

## ۱. مقدمه

اغلب مطالعات و آزمایش‌های انجام شده درخصوص تیرهای عمیق دو سرگیردار با بار یکنوا<sup>۱</sup> بوده است که با توجه به گسترش روزافزون تیرهای عمیق، احتمال قرار گرفتن آن‌ها در بارهای چرخه‌یی<sup>۲</sup> ناشی از نیروهای زلزله نیز افزایش می‌یابد. ازاندک مطالعات صورت گرفته بر روی تیرهای عمیق دو سرگیردار، مطالعات سوبدی<sup>۳</sup> و عربزاده (۱۹۹۴) است که طی آن با آزمایش ۱۸ نمونه یک رابطه‌ی تحلیلی ارائه شد و در مدل خرپایی مذکور، علاوه بر دستک فشاری بتن، خاموت‌ها نیز در ظرفیت باربری تأثیر داشتند.<sup>[۴]</sup> همچنین سرجیو<sup>۵</sup> و کلادیا<sup>۶</sup> (۲۰۰۸) با آزمایش بر روی ۴ تیر عمیق با تکیمه‌گاه‌های ساده تحت بار چرخه‌یی و بار یکنوا به بروزی تأثیر طول مهار میلگرد‌های طولی پرداختند و طی آن ۴ تیر کاملاً مشابه ساختند که در ۲ تیر، طول مهاری آرماتور طولی ۳۰٪ کمتر بود که به دلیل آگشته کردن مقدار مشخصی از طول مهاری آرماتور به ماده‌ی پلیپورتان بود. دو تیر (یک تیر با طول مهاری کافی و دیگری با طول مهاری کاهش یافته) تحت بار یکنوا و ۲ نمونه‌ی دیگر تحت بار سیکلی آزمایش و نتیجه‌گیری شد که اولاً کاهش ۳۰٪ طول مهاری آرماتور طولی، تأثیر چندانی در مقاومت نهایی تیر ندارد و همچنین مدل‌های خرپایی<sup>۷</sup> ارائه شده برای بار یکنوا، قابل استفاده برای بار چرخه‌یی هم هستند.<sup>[۷]</sup>

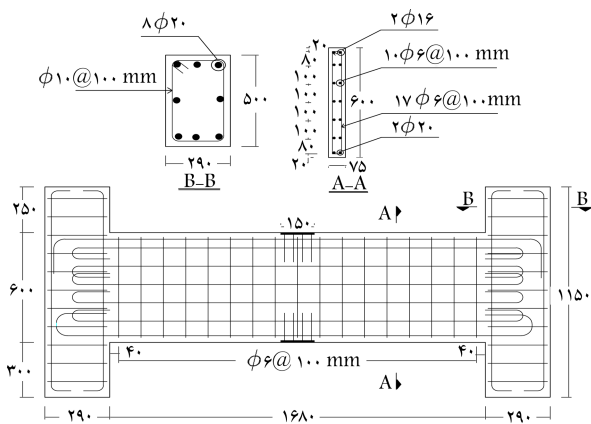
بنتز<sup>۸</sup> و همکاران (۲۰۱۰) نیز به آزمایش ۸ عدد تیر عمیق ساده در ۲ گروه پرداختند که شامل تیرهایی با طول دهانه‌ی متفاوت تحت بار چرخه‌یی و بار یکنوا بودند. هدف از آزمایش مذکور، تأثیر وجود خاموت‌ها در مقاومت تیرهای عمیق بود. ۴ تیر با خاموت و ۴ تیر عمیق دیگر بدون خاموت انتخاب شده بودند که نتایج آزمایش‌های انجام شده نشان داد که خاموت‌ها نقش بهسازی در مقاومت تیرهای

به طورکلی، تیرهای بتن مسلح براساس نسبت دهانه به عمق به دو دسته‌ی تیرهای معمولی و تیرهای عمیق تقسیم می‌شوند. هنگامی که نسبت دهانه به عمق تیرها بزرگ باشد، رفتار سازه‌ی آن‌ها به صورت خمشی است و با کاهش نسبت ذکر شده، سختی برشی قابل توجه خواهد بود.<sup>[۱]</sup> قابل ذکر است که رفتار تیرها تحت تأثیر عوامل دیگری نیز مانند: مقاومت بتن، خصوصیات آرماتورها، شرایط تکیه‌گاهی و نحوه اعمال بار است. براساس آینین‌نامه‌ی بتن آمریکا<sup>[۲]</sup> تیرهای با نسبت دهانه به عمق کمتر از ۴، به عنوان تیرهای عمیق طبقه‌بندی می‌شوند و در آینین‌نامه مذکور، روش خوبای برای طراحی تیرهای عمیق دو سر ساده پیشنهاد شده است. طبق مطالعات صورت گرفته، در هیچ یک از آینین‌نامه‌های بین‌المللی، روشی برای طراحی تیرهای عمیق بتن مسلح با تکیه‌گاه‌های دو سرگیردار و یا نیمه‌گیردار ارائه نشده است. در سال‌های اخیر، مطالعات قابل توجهی بر روی تیرهای عمیق با تکیه‌گاه ساده انجام شده است. اما درخصوص تیرهای عمیق دو سرگیردار و پیوسته، پژوهش‌های بسیار کمتری صورت گرفته است که می‌توان به مطالعات آرتورو<sup>۹</sup> و همکاران (۲۰۱۷) در خصوص شکست برای تیرهای عمیق بتن مسلح تحت بار چرخه‌یی اشاره کرد.<sup>[۱]</sup> با توجه به اینکه اخیراً تمايل به استفاده از تیرهای عمیق بتنی افزایش یافته است، احتمال به وجود آمدن شرایط تکیه‌گاهی گیردار برای تیرهای عمیق بتنی نیز افزایش یافته است. بنابراین نیاز به پژوهش‌های بیشتری بر روی تیرهای دو سرگیردار است.<sup>[۱۰]</sup> همچنین

\* نویسنده مسئول

تاریخ: دریافت ۱۰/۵/۱۳۹۶، اصلاحیه ۱۵/۱/۱۳۹۷، پذیرش ۳/۲/۱۳۹۷.

DOI:10.24200/J30.2018.5198.2214



شکل ۱. جزئیات آرماتورگذاری و ابعاد نمونه‌های آزمایش شده.



شکل ۲. تقویت‌های صورت گرفته در محل اعمال بار.

میلی‌متر به همراه ۴ میلگرد نمره ۱۰ به صورت U شکل، جهت تقویت بیشتر به نمونه جوش شده و مطابق شکل ۲ در بالا و پایین آن کارگذاشته شده است. آرماتورگذاری هر دو نمونه کاملاً مشابه بوده و آرماتور فوچانی آن‌ها، ۲ عدد میلگرد آجدار نمره ۲۰ است. همچنین از آجدار نمره ۱۶ و آرماتور تحتانی ۲ عدد میلگرد آجدار نمره ۲۰ است. همچنین از ۱۷ عدد میلگرد ساده‌ی نمره ۶ به فاصله‌ی ۱۰۰ میلی‌متر و ۵ عدد آرماتور افقی نمره ۶ به فاصله‌ی ۱۰۰ میلی‌متر در هر شیبکه‌ی تیرهای نمونه استفاده شده است. آرماتور آجدار نمره ۱۰ به فاصله‌ی ۱۰۰ میلی‌متر بوده است. مشخصات نمونه‌های آزمایش شده در جدول ۱ ارائه شده است.

## ۲.۱.۲. بارگذاری

جهت بارگذاری یکنوا، بار خطی با سرعت خیلی کم و به طور یکنواخت به نمونه SM اعمال شده است. همچنین جهت اعمال بار چرخه‌ی به نمونه‌ی اول (SC) از روش کنترل تغییرمکان استفاده شده است که الگوی آن در دستورالعمل ATC-۲۴<sup>[۱۱]</sup> ارائه شده است (شکل ۳). مراحل بارگذاری مطابق شکل ۳ به این صورت است که ابتدا ۳ سیکل جایه‌جایی به اندازه‌ی  $\frac{1}{3}$  تغییرمکان جاری شدن تیر اعمال می‌شود. سپس ۳ سیکل دیگر به اندازه‌ی  $\frac{2}{3}$  تغییرمکان جاری شدن تیر، جایه‌جایی وارد خواهد شد و در مرحله‌ی بعد، ۳ سیکل جایه‌جایی معادل تغییرمکان جاری شدن تیر، بار وارد می‌شود. به همین ترتیب تا ۳ مرحله‌ی دیگر در هر مرحله به اندازه‌ی تغییرمکان جاری شدن تیر به بارگذاری اضافه می‌شود. از مرحله‌ی چهارم به بعد، در هر مرحله ۲ سیکل بارگذاری اعمال می‌شود، تا نمونه گسیخته شود.

عمیق دارند. به طوری که وجود خاموت افزایش حدود ۲۰ تا ۶۰ درصدی در مقاومت تیرهای عمیق دارند. همچنین ظرفیت باربری تیرهای عمیق دارای کمیته‌ی خاموت یا بیشتر، تحت بار چرخه‌ی نسبت به بار یکنوا کاهش چندانی ندارد.<sup>[۸]</sup> درخصوص ترمیم تیرهای عمیق بتنی پس از شکست، کلایتون<sup>۱۰</sup> و همکاران<sup>۱۵</sup> با استفاده از میلگردهای پس کشیده‌ی SFRP موفق شدند به ظرفیتی بیشتر از حالت اولیه دست یابند.<sup>[۹]</sup> همچنین ساتادرو<sup>۱۱</sup> و همکاران<sup>۱۲</sup> (۲۰۱۳)، یک رابطه‌ی ضمنی برای تحلیل تیرهای عمیق تحت بار دینامیکی ارائه کردند.<sup>[۱۰]</sup>

در نوشتار حاضر، رفتار تیرهای عمیق بتن مسلح دو سرگیردار تحت بار چرخه‌ی بی و یکنوا به صورت آزمایشگاهی بررسی شده است. برای این منظور دو تیر کاملاً مشابه با نسبت دهانه به عمق ۲/۸ ساخته شده است که یکی تحت بار چرخه‌ی و دیگری تحت بار یکنوا آزمایش شده است. آزمایش‌های مذکور در آزمایشگاه سازه‌ی دانشگاه تربیت مدرس و در مقیاس  $\frac{1}{8}$  انجام شده است. برای بررسی رفتار برشی تیرهای عمیق بتن مسلح دو سرگیردار، تیر ذکر شده تحت بار چرخه‌ی از بالا و پایین آزمایش شد و در محل اعمال بار، در بالا و پایین آن از دو عدد ورق فولادی استفاده شده است.

## ۲. ساخت نمونه‌های آزمایشگاهی

جهت مطالعه‌ی رفتار تیرهای عمیق تحت بار چرخه‌ی و یکنوا، دو نمونه‌ی کاملاً مشابه ساخته شده است، که نمونه‌ی اول با نام SC<sup>۱۲</sup> تحت بار چرخه‌ی و نمونه‌ی دوم با نام SM<sup>۱۳</sup> تحت بار یکنوا آزمایش شده‌اند. اندازه‌ی نمونه‌های آزمایش شده براساس امکانات آزمایشگاه و به گونه‌ی انتخاب شده است که مقیاس کردن آن‌ها تأثیری در نتایج نداشته باشد. مطابق پژوهش‌های نور<sup>۱۴</sup> و بسول<sup>۱۵</sup> با کاهش اندازه‌ی نمونه مخصوصاً در نمونه‌های با ابعاد کوچک‌تر از  $50 \times 100$  میلی‌متر، مقاومت بتن و ضریب اصلاح افزایش می‌یابد. همچنین نتایج آزمایش‌های نشان می‌دهد که مقیاس کردن نمونه بین  $\frac{1}{6}$  تا  $\frac{1}{8}$  خطای در حدود ۱۵٪ ± به همراه دارد. این در صورتی است که نمونه‌هایی که تا  $\frac{1}{6}$  برابر کوچک‌تر می‌شوند، نتایج نمونه با نتایج اصلی تغییری نمی‌کند.<sup>[۱۱]</sup> بر این اساس اندازه‌ی نمونه‌های مورد مطالعه در نوشتار حاضر به مقدار پیشنهادی  $\frac{1}{8}$  تیر واقعی انتخاب شده‌اند. بنابراین مقیاس کردن نمونه‌ها، تأثیری در نتایج نخواهد داشت.

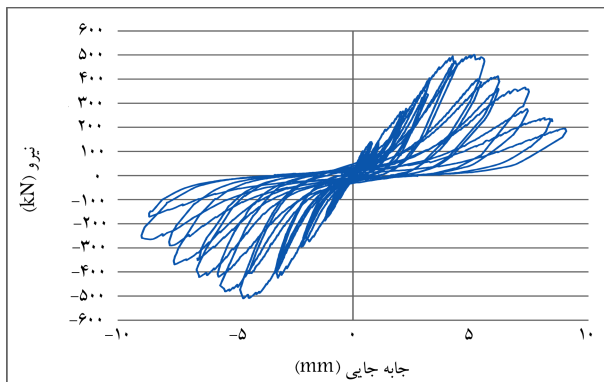
## ۲.۱. مشخصات نمونه‌ها

نمونه‌های آزمایش شده، تیرهایی به دهانه‌ی ۱۶۸۰ میلی‌متر، ارتفاع ۶۰۰ میلی‌متر و ضخامت ۷۵ میلی‌متر هستند. جهت تأمین گیرداری تیرها، در دو انتهای آن‌ها از دو عدد بلوك بتی نی با سطح مقطع  $290 \times 500$  میلی‌متر و با ارتفاع ۱۱۵۰ میلی‌متر است که هر کدام از دو بلوك مذکور به همراه ۱۲ عدد بولت M27 گردید ۸/۸ با مقاومت تسیلم ۸۸۰ مگاپاسکال به قاب صلب فولادی آزمایشگاه متصل شده است. مطابق مطالعات پیشین نویسندهان نوشتار حاضر،<sup>[۱۵]</sup> دو عدد بلوك بتی مذکور می‌توانند شرایط گیرداری کامل را برای تیر عمیق مورد آزمایش تأمین کنند. میزان پوشش بتن در بالا و پایین نمونه‌ها، ۲۰ میلی‌متر بوده و جزئیات آرماتور بیندی آن‌ها در شکل ۱ نشان داده شده است (تمامی ابعاد نشان داده شده بر روی شکل بر حسب میلی‌متر است).

جهت جلوگیری از وقوع خرابی نمونه‌ها در اثر لهیدگی، یک ورق فولادی به طول ۱۵۰ میلی‌متر، ضخامت ۱۰ میلی‌متر و عرضی برابر با ضخامت نمونه‌ها یعنی ۷۵

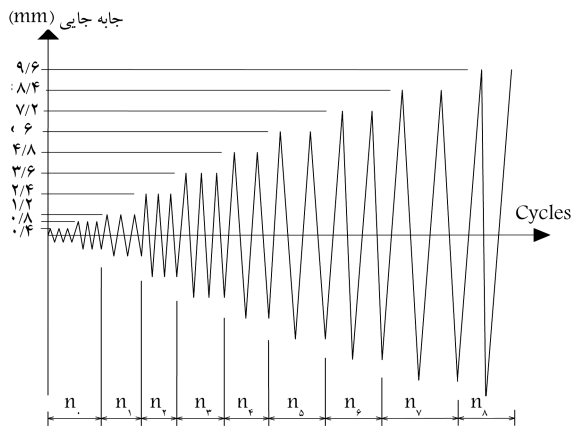
جدول ۱. مشخصات نمونه‌های آزمایش شده.

نمونه	مشخصات نمونه‌ی مکعبی بتن			آرماتورهای تحاتی		آرماتورهای قائم جان		آرماتورهای افقی جان	
	$f_{CU}(MPa)$	$E(MPa)$	آرماتورهای فوقانی	$f_y(MPa)$	نوع آرماتور	$f_y(MPa)$	نوع آرماتور	$f_y(MPa)$	نوع آرماتور
SC	۴۲,۸	۳۰۵۰/۸/۲	۲T۱۶	۵۵۵/۹	۲T۲۰	۴۱۰	۲×۱۷۶	۳۷۴/۲۷	۲×۵۶
SM	۴۲,۱	۲۹۹۱۰/۹	۲T۱۶	۵۵۵/۹	۲T۲۰	۴۱۰	۲×۱۷۶	۳۷۴/۲۷	۲×۵۶

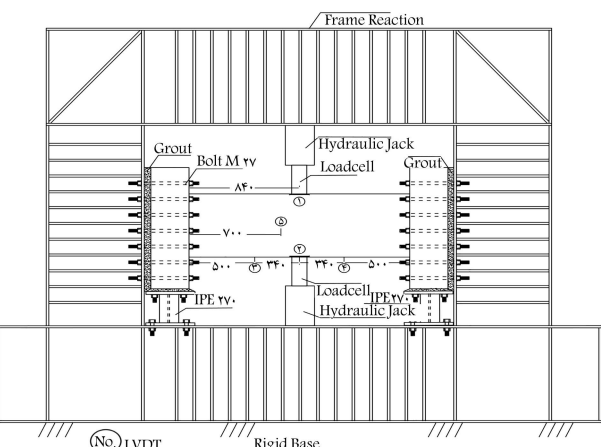


شکل ۵. نمودار نیرو - جابه‌جایی وسط تیر نمونه اول (SC).

شدند و برای اندازه‌گیری جابه‌جایی‌ها از ۵ عدد LVDT استفاده شده است که ۲ عدد از آن‌ها در وسط در بالا و پایین تیر، ۲ عدد دیگر در پایین تیر و به فاصله‌ی ۵۰ میلی‌متر از بر تکیه‌گاه‌ها و LVDT پنجم نیز جهت نشان دادن جابه‌جایی‌های خارج از صفحه در بدنه‌ی تیر نصب شده است. همچنین جهت مشاهده‌ی بهتر موقعیت ترک‌های ایجاد شده، بدنه‌ی نمونه به صورت شبکه‌ی  $100 \times 100$  میلی‌متر علامت‌گذاری شده است.



شکل ۶. الگوی بارگذاری چرخه‌ی.



شکل ۷. شماتیک نصب تجهیزات جهت آزمایش نمونه‌ها.

### ۳. نتایج آزمایش

در بخش حاضر، رفتار تیر عمیق از نظر برش و همچنین منحنی نیرو - جابه‌جایی و الگوهای ترک بحث و بررسی شده‌اند.

#### ۳.۱. منحنی نیرو - جابه‌جایی

با توجه به نتایج حاصل از نیروسنج‌ها و جابه‌جایی تیر، منحنی نیرو - جابه‌جایی وسط تیر نمونه‌ی اول (SC)، در شکل ۵ مشاهده می‌شود که مطابق آن بیشینه‌ی ظرفیت تیر در حدود جابه‌جایی ۵ میلی‌متر اتفاق افتاده و همچنین بیشینه‌ی ظرفیت تیر در بارگذاری از بالا  $1kN$  و تحت بارگذاری از پایین  $50kN$  بوده است. نتایج آزمایش اخیر نشان می‌دهد که منحنی‌های هیسترزیس نمونه‌ی اول، استهلاک انرژی کم (حلقه‌های هیسترزیس نازک) دارند و کاهش جریان بروارد شده به تیر تحت تغییرمکان‌های یکسان در سیکل‌های متوالی، تغییرشکل‌های ماندگار خیلی کوچک و شکل‌پذیری کم دارند. همچنین جاری شدن آرماتورهای عرضی مانع بسته شدن کامل ترک‌ها در حین باربرداری می‌شود، لذا بازشکل‌گی عرض ترک‌ها در طول قطر اصلی تیر مشاهده می‌شود (دقیقاً در محل خاموت‌هایی که جاری می‌شوند). عملت استهلاک انرژی کم در حلقة‌ها می‌تواند به دلیل رفتار برشی باشد، چون در رفتار خمی، استهلاک انرژی زیاد است و برخلاف آن در رفتار برشی، استهلاک انرژی خیلی کمتر است. همچنین با توجه به شکل ۵ مشاهده می‌شود که سختی قبل از شکست تیر در حدود  $122 kN/mm$  و سختی بعد از شکست در

عملت تکرار سیکل‌ها به این دلیل است که نرم شدن بتن در هر مرحله مشاهده شود.

باتوجه به آزمایش بارگذاری استاتیکی یکنواخت انجام شده بر روی نمونه‌ی مشابه تیر ذکر شده توسط سوبیدی و عربزاده،<sup>[۷]</sup> تغییرمکان جاری شدن آن  $1/2$  میلی‌متر است. بنابراین بارگذاری با  $40$  میلی‌متر تغییرمکان آغاز شده و مطابق الگوی توضیح داده شده ادامه یافته است تا نمونه گسیخته شود. این بارگذاری توسط  $2$  عدد پمپ هیدرولیکی در بالا و پایین تیر به همراه  $2$  عدد نیروسنج (جهت اندازه‌گیری مقدار بار واردده) نصب شده، اعمال می‌شود. در شکل ۴، به صورت شماتیک، نصب تجهیزات<sup>[۷]</sup> جهت آزمایش نمونه‌های موردنظر مشاهده می‌شود.

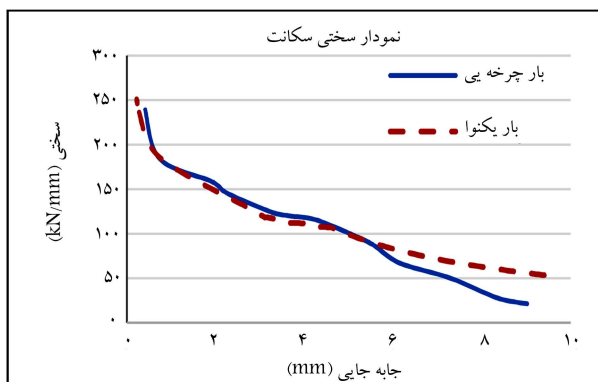
#### ۳.۲. وسایل اندازه‌گیری

در هر نمونه، نیروهای واردشده توسط  $2$  عدد نیروسنج در محل اعمال بار اندازه‌گیری

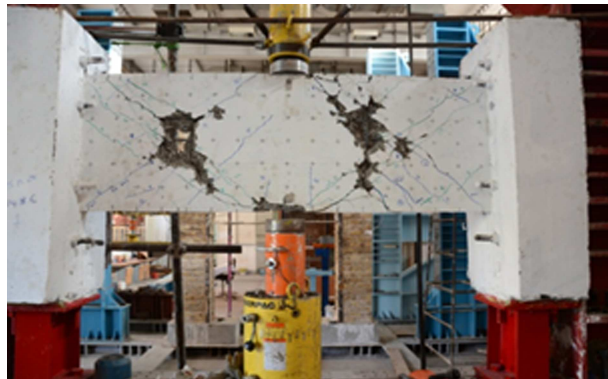
مشاهده می‌شود که مطابق آن سختی سکانتی هر دو نمونه تا جایه‌جایی‌های قبل از شکست تیر، تقریباً یکسان است؛ اما در جایه‌جایی‌های بعد از شکست تیر، سختی سکانتی نمونه تحت بار چرخه‌بی نسبت به بار یکنوا کاهش یافته است.

### ۲۳. المکوی ترک خوردنگی

تیر نمونه‌ی اول (SC) که مطابق المکوی بار ذکر شده در قسمت قبلی آزمایش شد، در ۳ مرحله‌ی تکرار سیکل اول دچار هیچ گونه ترکی نشد. اما در اولین تکرار سیکل دوم تحت نیروی  $13^{\circ}$  کیلونیوتون، اولین ترک از پایین به صورت قطری ایجاد شد. سپس با معکوس شدن جهت بارگذاری، ترک‌هایی عمود بر ترک‌های قبلی تحت نیروی  $13^{\circ}$  کیلونیوتون ایجاد شد. با ادامه‌ی روند بارگذاری چرخه‌بی، ترک‌های مذکور گسترش یافتند و ترک‌های جدید نیز اضافه شدند. نهایاً المکوی ترک خوردنگی نهایی تیر نمونه‌ی اول تحت بار چرخه‌بی مطابق شکل ۹ ایجاد شد که مطابق آن شکست تیر در اثر ترک‌های قطری اصلی است، که تحت بارگذاری از بالا و پایین، همیگر را قطع کرده و در محل قطع ترک‌های قطری مذکور، بتن کاملاً خرد شده است. ترک‌های ذکر شده تقریباً از لبه‌ی بیرونی ورقی بارگذاری شروع شده و تا محل تکیه‌گاه‌ها ادامه یافته‌اند که با محور اصلی تیر حدوداً زاویه‌ی  $45^{\circ}$  درجه ساخته‌اند. همچنین مشاهده می‌شود که سایر ترک‌های ایجاد شده تقریباً موازی ترک‌های قطری اصلی هستند که نشان‌گر شکست برشی تیر است. نکته‌ی قابل تأمل دیگر این است که مطابق شکل مذکور ترک‌های ایجاد شده تحت بارگذاری از بالا، قرینه‌ی ترک‌های ایجاد شده تحت بارگذاری از پایین هستند.



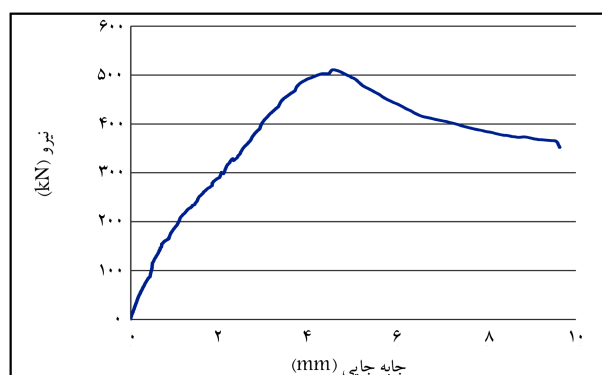
شکل ۸. مقایسه‌ی نمودار سختی سکانتی تیر نمونه‌ی اول (SC) و نمونه‌ی دوم (SM).



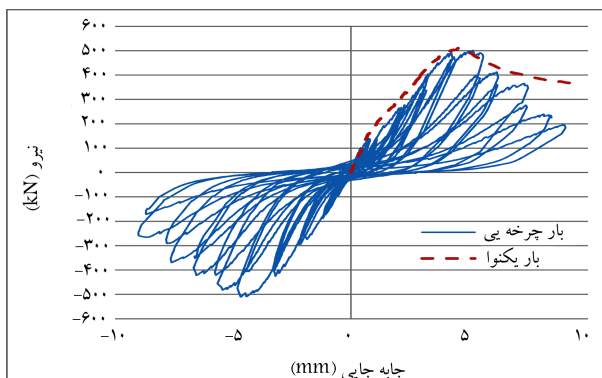
شکل ۹. ترک‌های ایجاد شده در نمونه‌ی اول (SC).

حدود  $78 \text{ kN/mm}$ -۷۸ است. به عبارتی بعد از شکست تیر، با افزایش ۱ میلی‌متر جایه‌جایی، مقاومت تیر  $78 \text{ kN}$  کاهش یافته است. شکل ۶، نمونه‌ی دوم (SM) را نشان می‌دهد که به صورت یکنوا بارگذاری شده است، به طوری که بیشینه‌ی ظرفیت بارگذاری آن، سختی ثابت  $511 \text{ kN}$  است. با توجه به منحنی بار-غیربرمکان تیر در حالت بارگذاری یکنوا مشاهده می‌شود که سختی اولیه‌ی تیر تا حدود  $13^{\circ} \text{ kN}$ ، یعنی  $25\%$  ظرفیت نهایی آن، سختی تیر کمی کاهش یافته است که در حدود  $235 \text{ kN/mm}$  دارد. سپس با ترک خوردن بتن، سختی تیر کمی کاهش یافته است که در حدود  $120 \text{ kN/mm}$  است. نکته‌ی قابل توجه نصف سختی اولیه‌ی تیر یعنی در حدود  $120 \text{ kN/mm}$  دارد. رفتار بعد از شکست تیر دوم است که مقاومت آن به شدت کاهش یافته و در حدود  $36 \text{ kN/mm}$  شده است. به عبارتی بعد از شکست تیر، با افزایش ۱ میلی‌متر جایه‌جایی، مقاومت تیر  $36 \text{ kN}$  کاهش یافته است.

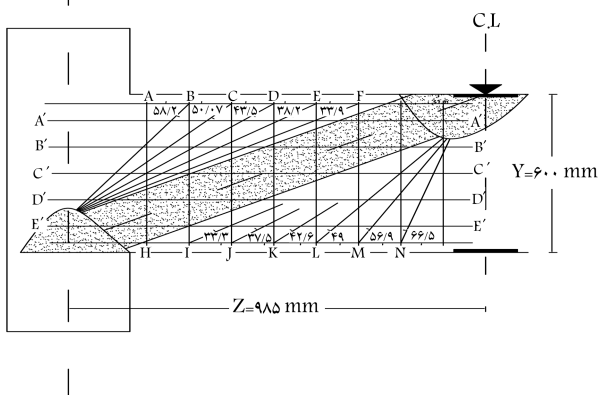
در شکل ۷، مقایسه‌ی نمودارهای نیرو - جایه‌جایی تیر نمونه‌ی اول تحت بار چرخه‌بی با تیر نمونه‌ی دوم در بارگذاری چرخه‌بی کاهش یافته است. نکته‌ی قابل توجهی و سختی تیر نمونه‌ی دوم در بارگذاری چرخه‌بی کاهش یافته نداشته است؛ اما با توجه به سختی سکانت تیرها بعد از شکست که قبلاً به آن اشاره شده است، سختی تیر تحت بار چرخه‌بی بعد از شکست به نصف سختی بعد از شکست نمونه تحت بارگذاری یکنوا کاهش یافته است. به عبارتی، می‌توان گفت رفتار این نوع تیرها تا قبل از شکست برای هر دو نوع بارگذاری تفاوت چندانی ندارد. اما بعد از شکست، تیر تحت بار چرخه‌بی ضعیف‌تر می‌شود که به دلیل ترک‌های عمود بر هم است. همچنین سختی سکانتی برای هر دو نمونه به صورت مقایسه‌ی در شکل ۸،



شکل ۶. نمودار نیرو - جایه‌جایی وسط تیر نمونه‌ی دوم (SM).



شکل ۷. مقایسه‌ی نمودار نیرو - جایه‌جایی وسط تیر نمونه‌ی اول (SC) و نمونه‌ی دوم (SM).



شکل ۱۱. دستک بتُنی، خاموت‌ها و زوایای آن‌ها.

همچنین  $z$  فاصله‌ی مرکز تیر تا مرکز ستون و  $y$  ارتفاع تیر است (در اینجا بخشی از محاسبات انجام شده ارائه شده است).

$$a = 2 \times \left( \frac{1}{2} - \frac{1}{3} \right) 985 \times 600 = 197000 \text{ mm}^2$$

$$T = \frac{197000}{\sqrt{985^2 + 600^2}} = 170,8 \text{ mm}$$

$$f_{ec} = 0,67x^{43,8} = 29,346 \text{ MPa}$$

$$\alpha = \tan^{-1}(600,985) = 31,35^\circ$$

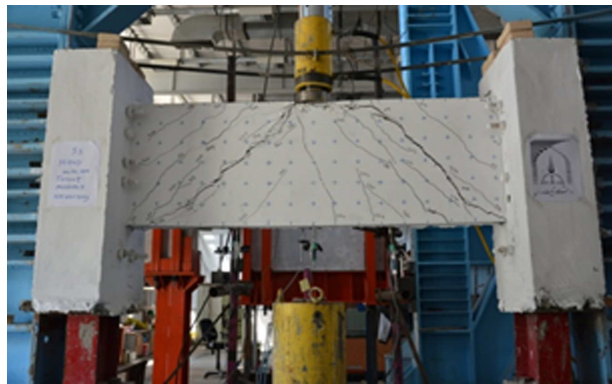
$$F = 0,67 \times 43,8 \times 25 \times 170,8 = 375,92 \text{ kN}$$

که در آن‌ها،  $f_{ec}$  مقاومت فشاری دستک بتُنی با درنظر گرفتن نرم‌شدگی بتُن،  $\alpha$  زاویه‌ی دستک بتُنی با افق و  $F$  نیروی تحمل شده توسط دستک بتُنی در راستای محور طولی خود است. همچنین ظرفیت نهایی تیر ( $P_{US}$ )، مجموع مؤلفه‌های قائم دستک‌های بتُنی و سایر دستک‌های است که معادل نیروی قائم خاموت است. بنابراین اگر مجموع مؤلفه‌های قائم در عدد ۲ ضرب شود، ظرفیت نهایی تیر به دست خواهد آمد. بنابراین ظرفیت نمونه‌ی تیر اول (SC) بدین صورت محاسبه می‌شود:

$$\begin{aligned} P_{US} &= 2 \times (375,92 \times \sin 31,35) + (2 \times 12,2 \\ &\quad \times \sin 58,2) + (2 \times 12,2 \times \sin 50,07) + (2 \times 12,2 \\ &\quad \times \sin 43,5) + (2 \times 12,2 \times \sin 38,2) + (2 \times 12,2 \\ &\quad \times \sin 33,9) = 560,4 \text{ kN} \end{aligned}$$

با توجه به نتایج آزمایش انجام شده، تیر اول تحت بار چرخه‌یی با ظرفیت  $P_{test} = 510 \text{ kN}$  گسیخته شده است. بنابراین می‌توان با محاسبه‌ی خطای (Er) به صورت تقریبی نتیجه گرفت که ظرفیت تیر اول تحت بار چرخه‌یی در حدود ۱۰ درجه می‌باشد. همچنین مقاومت دستک فشاری با توجه به نرم‌شدگی بتُن در اثر ترک خوردگی با ضریب  $50,67$  کاهش پیدا می‌کند.

$$Error = ((560,4 - 510) / 510) \times 100 = 9,88\%$$



شکل ۱۰. ترک‌های ایجاد شده در نمونه‌ی دوم (SM).

در تیر نمونه‌ی دوم (SM) تحت بار یکنوا، ابتدا نیروی  $50 \text{ kN}$  وارد و سپس باربرداری انجام شد و دستگاه‌های اندازه‌گیری صفر شدند و بار دیگر، بارگذاری  $100 \text{ kN}$  افزایش یافت و مجدداً باربرداری شد. با این بارگذاری و باربرداری اولیه که هنوز تیر در محدوده‌ی کشسان باقیمانده است، لقی و خطاهای اولیه‌ی دستگاه‌های اندازه‌گیری ازین می‌رود تا نتایج آزمایش با دقت بیشتری دنبال شود. نهایتاً بعد از ۲ بار بارگذاری اولیه، در مرحله‌ی سوم، بارگذاری تا شکست تیر ادامه یافت. در این مرحله از بارگذاری، اولین ترک قطعی در نمونه‌ی مذکور تحت بارگذاری از بالا تحت نیروی  $108 \text{ kN}$  رخ داد و سپس بارگذاری ادامه یافت تا نمونه تحت بار  $511 \text{ kN}$  به بیشینه‌ی ظرفیت خود رسید که ترک‌های ایجاد شده‌ی نهایی، مطابق شکل ۱۰ هستند.

در تیر دوم نیز شکست در اثر ترک‌های قطعی است که با محور تیر زاویه‌ی  $45^\circ$  می‌سازد و بقیه‌ی ترک‌ها هم تقریباً موازی با ترک‌های اصلی هستند. ترک‌های مربوط به شکست خمسی تیرهای عمیق دوسرگیردار که معمولاً در قسمت بالای محل اتصال تیر به ستون اتفاق می‌افتد، در تیر ذکر شده مشاهده نمی‌شود. بنابراین شکست تیر دوم نیز به صورت برشی بوده است. قابل ذکر است که نمونه‌ی دوم برای مقایسه با نمونه‌ی اول ساخته شده بود. لذا جهت یکسان بودن شرایط، در نمونه‌ی دوم هم از ۲ عدد ورق فولادی در بالا و پایین جهت بارگذاری استفاده شده است.

### ۳.۳. به دست آوردن ظرفیت نمونه‌ها با استفاده از مدل خرپایی

برای تحلیل تیرهای نمونه، از روش تحلیلی پیشنهادی عربزاده (۱۹۹۶)<sup>[۱۱]</sup> برای تیرهای عمیق دوسرگیردار استفاده شده است. روند مدل پیشنهادی به این صورت است که با استفاده از یک رابطه‌ی هذلولی، عرض دستک فشاری که در شکل ۱۱ مشاهده می‌شود، به دست می‌آید. سپس ظرفیت تیر برابر با مجموع نیروهای دستک‌های فشاری بتُنی و آرماتورهایی به دست می‌آید که زاویه‌ی بالای آن‌ها تا تکیه‌گاه کمتر از ۶۵ درجه است، زیرا آن‌ها فقط جاری می‌شوند. عرض دستک فشاری از رابطه‌ی ۱ به دست می‌آید. همچنین مقاومت دستک فشاری با توجه به نرم‌شدگی بتُن در اثر ترک خوردگی با ضریب  $50,67$  کاهش پیدا می‌کند.

$$T = \frac{a}{\sqrt{z^2 + y^2}} \quad (1)$$

که در آن،  $T$  عرض دستک بتُنی و  $a$  پارامتری است که در رابطه‌ی ۲ تعریف شده است:

$$a = 2 \times \left( \frac{1}{2} - \frac{1}{3} \right) zy \quad (2)$$

جدول ۲. خلاصه‌ی نتایج نمونه‌های آزمایش شده.

نوع شکست	$V_u/V_{STM}$	مقدار خطأ	ظرفیت تیر تحلیلی ( $KN$ )	$V_{STM}(KN)$	آزمایشگاهی ( $KN$ )	$V_u/\sqrt{f_c}$	نرمال شده	تنش برشی	نیروی جاری شدن نیروی اولین ترک نمونه	$V_{cr}(KN)$
برشی	۰,۹۱	۵۶۰,۴	۵۱۰	۰,۹۷۸	۴۳۰	۱۳۰	SC			
برشی	۰,۹۳	۵۴۵,۷	۵۱۱	۰,۹۸۸	۴۴۳	۱۰۸	SM			

الگوهای ترک و تغییرشکل تیرها، ۲ تیر عمیق تحت برش با نسبت دهانه به عمق ۲,۸ تحت بارگذاری یکنوا و چرخه‌ی آزمایش شدند و این نتایج به دست آمد:  
۱. برای هر ۲ تیر آزمایش شده، اولین ترک قطری تحت نیرویی در حدود ۲۵٪ ظرفیت نهایی تیر اتفاق افتاده است.

۲. اغلب ترک‌های ایجاد شده در هر ۲ نمونه، موازی ترک‌های قطعی بودند و شکست تیرها در اثر گسترش ترک‌های قطری اتفاق افتاده است که نشان‌دهنده‌ی شکست برشی تیرهای نمونه است. زیرا در شکست خشی، ترک‌هایی در محل اتصال تیر ایجاد می‌شود که تحت بارگذاری چرخه‌ی تقریباً به صورت متقابران است؛ به صورتی که در محل تقاطع ترک‌های اصلی، بنن خرد می‌شود و در صورت ادامه‌ی بارگذاری، علاوه بر افزایش عرض ترک، بنن محل تقاطع فرو می‌ریزد و در آنجا حفره ایجاد خواهد شد. اما تحت بارگذاری یکنوا با ادامه‌ی بارگذاری، فقط عرض ترک افزایش می‌یابد.

۳. نمودارهای نیرو - جابه‌جایی تیرهای نمونه تحت بار یکنوا و چرخه‌ی نشان می‌دهند که سختی قبل از شکست تیر تحت هر دو نوع بار تقریباً یکسان است و تفاوت محسوسی ندارند. اما بعد از شکست، سختی تیر تحت بار چرخه‌ی به شدت کاهش پیدا می‌کند و حدود نصف سختی در حالت بارگذاری یکنواست.

۴. منحنی‌های هیسترزیس نمونه‌ی اول SC دارای استهلاک انژری کم (حلقه‌های هیسترزیس نازک)، کاهش جزئی بار وارد شده به تیر تحت تغییرمکان‌های یکسان در سیلکل‌های متواالی، تغییرشکل‌های ماندگار خیلی کوچک و شکل‌بندیری کم است. همچنین جاری شدن آرماتورهای عرضی مانع بسته شدن کامل ترک‌ها در حین باربرداری می‌شود. به طورکلی تغییرشکل‌های ماندگار در ترک‌ها، در طول قطر اصلی تیر مشاهده شده است. استهلاک انژری کم در حلقة‌های چرخه‌ی می‌تواند به عمل رفتار برشی باشد. چون در رفتارهای خمشی استهلاک انژری زیاد است و حلقة‌های هیسترزیس بازتر هستند.

۵. تنش برشی نرمال شده نسبت به  $f'_c$  در هر دو نمونه حدود ۰,۹۸ است که مطابق موارد مشابه که در پیشینه‌ی پژوهش ارائه شده است، برای تیرهای عمیق با تکیه‌گاه ساده، تنش برشی نرمال شده برابر ۰,۷۳ است. از نشان می‌دهد تنش برشی نرمال شده نسبت به تیرهای دارای تکیه‌گاه معمولی متوجه می‌شوند. بنابراین نسبت به تیرهای با تکیه‌گاه معمولی است. از این رو می‌توان نتیجه گرفت که ظرفیت تیرهای عمیق مشابه نمونه‌های آزمایش شده در نوشتار حاضر با تکیه‌گاه گیردار حدوداً ۰,۹۸ است.<sup>[۸]</sup> افزایش تنش برشی نرمال شده نشان می‌دهد که تنش برشی در تیرهای با تکیه‌گاه پیوسته و گیردار، در حدود ۰,۷۴ برابر بیشتر است. همچنین تنش برشی نرمال شده نسبت به  $f'_c$  حدوداً ۰,۹۸ است، در صورتی که تنش برشی نرمال شده برای تیرهای عمیق با تکیه‌گاه ساده برابر ۰,۷۳ است.<sup>[۸]</sup> افزایش تنش برشی نرمال شده نشان می‌دهد که تنش برشی در تیرهای با تکیه‌گاه پیوسته و گیردار، در حدود ۰,۷۴ برابر بیشتر است. از این رو می‌توان نتیجه گرفت که ظرفیت تیرهای عمیق مشابه نمونه‌های آزمایش شده در نوشتار حاضر با تکیه‌گاه گیردار حدوداً ۰,۹۸ نسبت به تکیه‌گاه ساده افزایش خواهد یافت. بنابراین به طورکلی، هر دو تیر آزمایش شده از نظر مقاومت، سختی، تغییرشکل و ظرفیت بیانگر این نکته بودند که روش تحلیلی پیشنهادی در برخی نوشتارها،<sup>[۱۲]</sup> برای تیرهای عمیق دو سرگیردار تحت بارهای یکنوا یا چرخه‌ی افزایش خواهد دارد.

۶. مقایسه‌ی نتایج آزمایشگاهی با روابط تحلیلی نشان می‌دهد که در هر دو نمونه در حدود ۰,۸٪ خط و وجود دارد که می‌توان گفت مقادرهای از آن مربوط به عدم قطبیت کامل از مقاومت بتن در انجام آزمایش، خطاهای جزئی مربوط به وسایل اندازه‌گیری در آزمایشگاه و همچنین مقادرهای هم به علم تقریب روابط تحلیلی روش حرپایی است.

در نمونه‌ی دوم که مقاومت فشاری بتن ۱/۷ مگاپاسکال کمتر است، مقاومت دستک فشاری به این صورت محاسبه می‌شود:

$$F = ۰,۶۷ \times ۴۲,۱ \times ۷۵ \times ۱۷۰,۸ = ۳۶۱,۳ kN$$

ظرفیت نهایی تیر دوم نیز مانند نمونه‌ی اول از این رابطه به دست می‌آید:

$$\begin{aligned} P_{US} &= ۲ \times (۲ \times ۱۲,۲ \times \sin ۳۱,۳۵) + (۲ \times ۱۲,۲ \\ &\quad \times \sin ۵۸,۲) + (۲ \times ۱۲,۲ \times \sin ۵۰,۰۷) + (۲ \times ۱۲,۲ \\ &\quad \times \sin ۴۳,۵) + (۲ \times ۱۲,۲ \times \sin ۳۸,۲) + (۲ \times ۱۲,۲ \\ &\quad \times \sin ۳۳,۹) = ۵۴۵,۷ kN \end{aligned}$$

با توجه نتایج آزمایش انجام شده، تیر دوم تحت بار استاتیکی با ظرفیت  $P_{test} = ۵۱۱ kN$  گسیخته شده است. بنابراین می‌توان با محاسبه‌ی خطأ ( $Error$ ) به صورت تقریبی نتیجه گرفت که ظرفیت تیر دوم تحت بار یکنوا در حدود ۰,۷٪ نسبت به روابط تحلیلی کاهش یافته است.

$$Error = ((۵۴۵,۷ - ۵۱۱) / ۵۵۴,۸۵) \times ۱۰۰ \% = ۰,۶,۸$$

با توجه به نتایج به دست آمده می‌توان گفت که مدل تحلیلی ارائه شده تقریباً برای هر دو حالت بارگذاری صادق است و می‌توان از آن برای تیرهای دو سرگیردار تحت بار یکنوا و چرخه‌ی استفاده کرد. در جدول ۲، خلاصه‌ی نتایج به دست آمده ارائه شده است.

با توجه به جدول ۲ مشاهده می‌شود که رفتار تیرهای عمیق دو سرگیردار تحت بارگذاری چرخه‌ی می‌شود که مشابه رفتار آن‌ها تحت بار یکنواست و تفاوت اصلی آن‌ها در مرحله‌ی بعد از شکست است. همچنین تنش برشی نرمال شده نسبت به  $f'_c$  حدوداً ۰,۹۸ است، در صورتی که تنش برشی نرمال شده برای تیرهای عمیق با تکیه‌گاه ساده برابر ۰,۷۳ است.<sup>[۸]</sup> افزایش تنش برشی نرمال شده نشان می‌دهد که تنش برشی در تیرهای با تکیه‌گاه پیوسته و گیردار، در حدود ۰,۷۴ برابر بیشتر است. از این رو می‌توان نتیجه گرفت که ظرفیت تیرهای عمیق مشابه نمونه‌های آزمایش شده در نوشتار حاضر با تکیه‌گاه گیردار حدوداً ۰,۹۸ نسبت به تکیه‌گاه ساده افزایش خواهد یافت. بنابراین به طورکلی، هر دو تیر آزمایش شده از نظر مقاومت، سختی، تغییرشکل و ظرفیت بیانگر این نکته بودند که روش تحلیلی پیشنهادی در برخی نوشتارها،<sup>[۱۲]</sup> برای تیرهای عمیق دو سرگیردار تحت بارهای یکنوا یا چرخه‌ی افزایش خواهد دارد.

#### ۴. نتیجه‌گیری

در نوشتار حاضر برای مشاهده‌ی رفتار تیرهای عمیق، منحنی بار - جابه‌جایی،

## پابنوه‌ها

1. ACI 318-14
2. Arturo
3. monotonic load
4. cyclic loads
5. Subedi
6. Sergio M. Alcocer
7. Claudia M. Uribe
8. STM
9. Bentz
10. Clayton
11. Satadru
12. specimen with cyclic loading
13. specimen with monotonic loading
14. Noor
15. Boswell
16. load cell
17. test setup
18. linear variable displacement transformer (LVDT)

## منابع (References)

1. Rogowsky, D.M., MacGregor, J.G. and Ong, S.Y. "Tests of reinforced concrete deep beams", *ACI Journal*, **83**(4), pp. 614-623 (July-Aug., 1986).
2. Alcocer, S.M. and Uribe, C.M. "Monotonic and cyclic behaviour of deep beams designed using strut-and-tie models", *ACI Structural Journal*, **105**(3), pp. 327-337 (May-June, 2008).
3. ACI 318-14, "building code requirements for structural concrete", American Concrete Society Materials and Structures (2014).
4. Tena-Colunga, A., Urbina-Californias, L.A. and Archundia-Aranda, H.I. "Cyclic behavior of continuous reinforced concrete haunched beams with transverse reinforcement designed to fail in shear", *Construction and Building Materials*, **151**, pp. 546-562 (2017).
5. Arabzadeh, A. and Hizaji, R. "Effects of dimension and boundary condition of columns in rigidity of reinforced concrete deep beams", *3rd International Conference on Architecture, Structure, and Civil Engineering (ICASCE)*, Norway (17,18,19 Aug., 2016).
6. Subedi, N.K. and Arabzadeh, A. "Some experimental results for reinforced concrete deep beams with fixed-ended supports of electrode contact solutions and contact pressure in assessing electrical resistivity of concrete", *Structural Engineering Review*, **6**(2), pp. 105-128 (1994).
7. Alcocer, S.M. and Medina Uribe, C.A. "Monolithic and cyclic behavior of deep beams Designed using strut-and-tie models", *ACI Structural Journal*, **105**(3), pp. 327-337 (May-June, 2008).
8. Mihaylov, B.I., Bentz, E.C. and Collins, M.P. "Behavior of large deep beams subjected to monotonic and reversed cyclic shear", *ACI Structural Journal*, **107**(6), pp. 726-734 (Nov.-Dec., 2010).
9. Burningham, C.A., Pantelides, Ch.P. and Reaveley, L.D. "Repair of reinforced concrete deep beams using post-tensioned CFRP rods", *Composite Structures*, **125**, pp. 256-265 (2015).
10. Adhikary, S.D., Li, B. and Fujikake, K. "Strength and behavior in shear of reinforced concrete deep beams under dynamic loading conditions", *Nuclear Engineering and Design*, **259**(2), pp. 14-18 (June, 2013).
11. Noor, F.A. and Boswell, L. F. "Small scale modelling of concrete structures", Elsevier Science Publishers LTD. (1992).
12. ATC-24, "Guidelines for cyclic seismic testing of components of steel structures for buildings", Report No. ATC-24, Applied Technology Council, Redwood City, CA (1992).
13. Arabzadeh, A., Rahaei, A.R. and Aghayari, R. "A simple strut-and-tie model for prediction of ultimate shear strength of RC deep beams", *International Journal of Civil Engineering*, **7**(3), pp. 141-153 (Sep., 2009).
14. Arabzadeh, A. "Truss analogy for the analysis of reinforced concrete fixed-ended deep beams", *The 2ed International Conference in Civil Engineering on Computer Applications, Research and Practice*, Bahrain (6-8 Apr., 1996).